

# Computergraphik

Computergraphik

Vorlesung im Wintersemester 2013/14

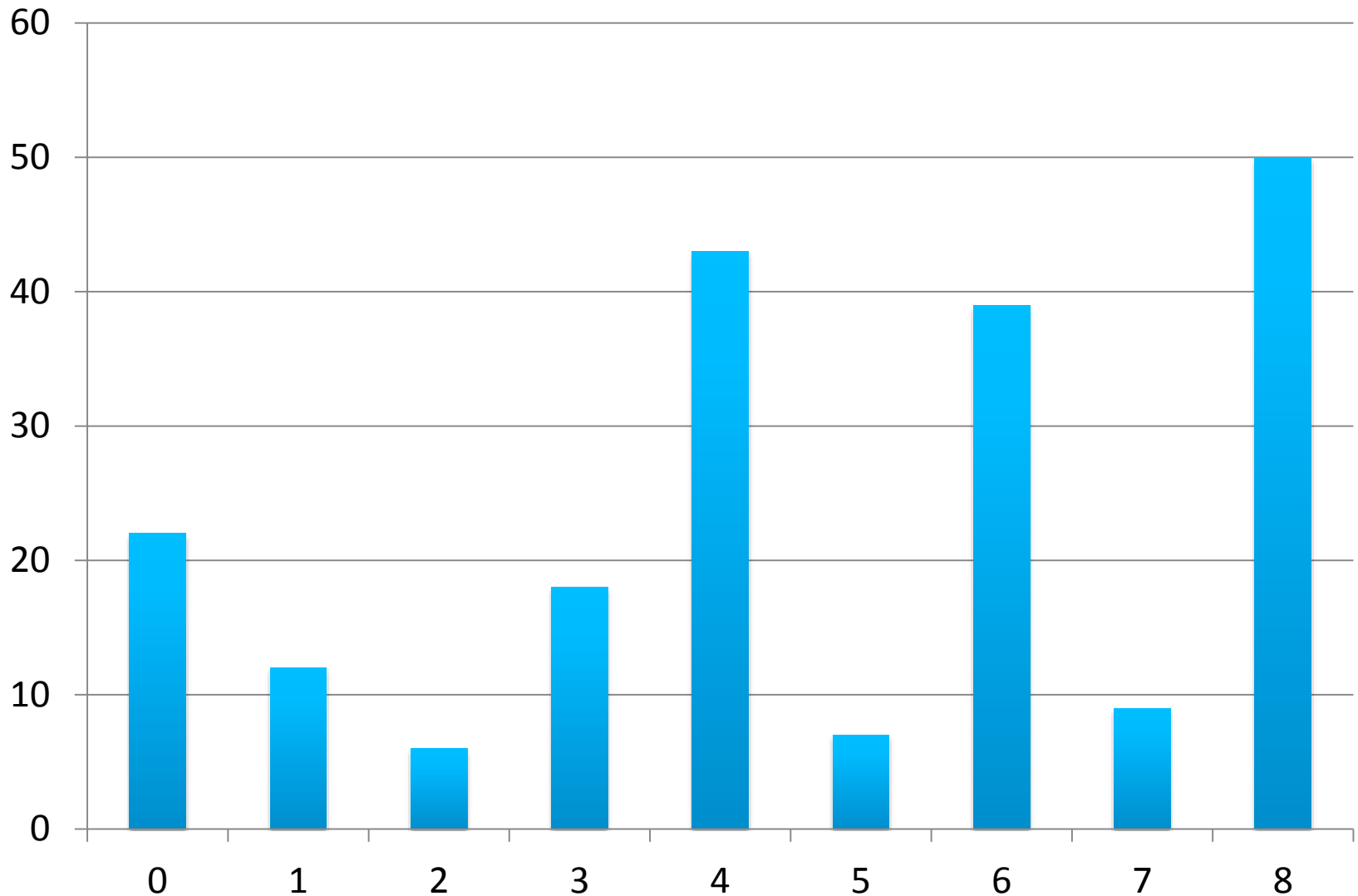
Kapitel 6ü: Clipping, Teil 2

Prof. Dr.-Ing. Carsten Dachsbacher  
Lehrstuhl für Computergrafik  
Karlsruher Institut für Technologie



# Ergebnisse Übungsblatt 7

▶ Punkteverteilung:



# Ergebnisse Übungsblatt 7



Häufige Fehler:

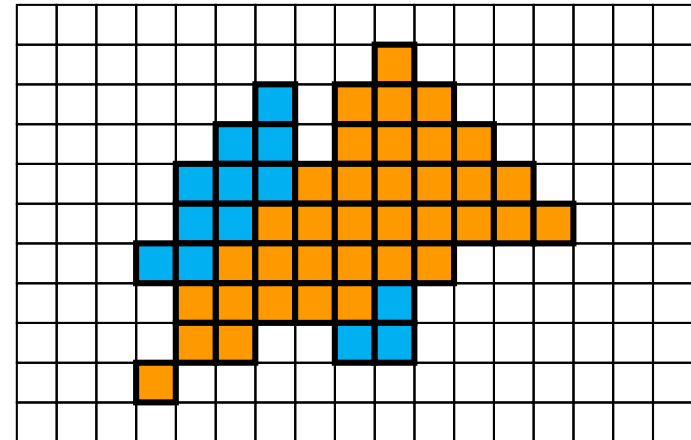
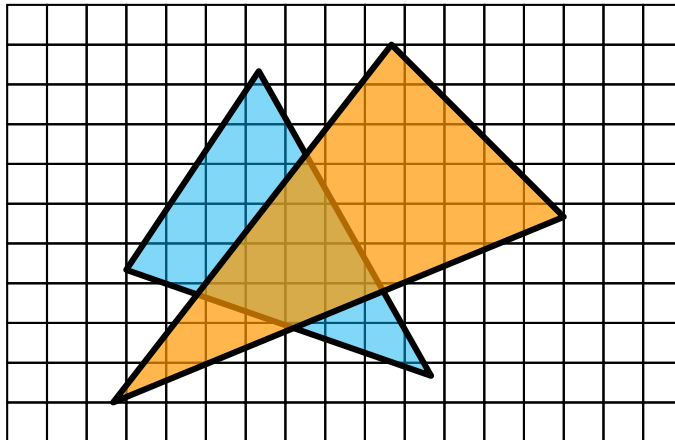
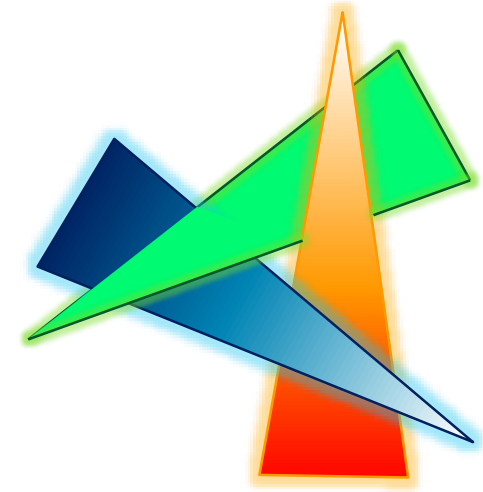
- ▶ Kein Clamping der MipMap-Level
  - ▶ führt zu Absturz

# Übungsblatt 8 – Aufgabe 2



- ▶ Welche Probleme können durch die Interpolation von Normalen bei der Berechnung von Reflexionsrichtungen auftreten?  
Betrachten Sie dazu die Extremfälle, die beispielsweise bei einer groben Tessellierung einer Kugel auftreten.
- ▶ Beim Aufbau der BVH werden die Objekte/Dreiecke immer wieder sortiert. Fällt Ihnen eine Möglichkeit ein, die Anzahl der Sortiervorgänge zu reduzieren?

- ▶ Clipping von Linien und Polygonen (in der **Übung**)
  - ▶ Cohen-Sutherland und  $\alpha$ -Clipping
  - ▶ Sutherland-Hodgeman

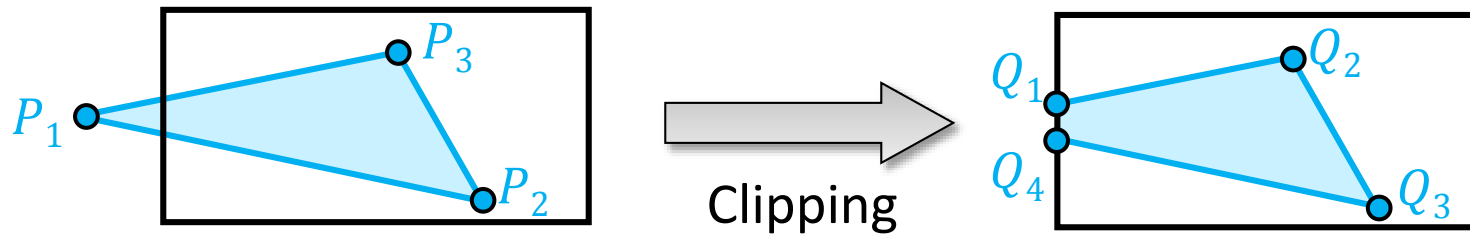


# Line clipping (Wiederholung)

- ▶ Algorithmus für Clipping einer Linie an einem Rechteck:
  - ▶ Bestimme Window Edge Coordinates und Outcodes
  - ▶ Prüfe trivial accept / trivial reject
  - ▶ Setze  $\alpha_{min} = 0$ ,  $\alpha_{max} = 1$
  - ▶ Für alle Kanten mit unterschiedlichen Outcode-Bits in Endpunkten:
    - ▶ Bestimme Lage des Schnittpunkts  $\alpha_S$  durch
$$\alpha_S = \frac{WEC_E(P_1)}{WEC_E(P_1) - WEC_E(P_2)}$$
    - ▶ Falls  $P_1$  außerhalb,  $\alpha_{min} = \max(\alpha_{min}, \alpha_S)$
    - ▶ Sonst  $\alpha_{max} = \min(\alpha_{max}, \alpha_S)$
    - ▶ Falls  $\alpha_{max} < \alpha_{min}$  Linie außerhalb -> Ende
  - ▶ Zeichne Linie zwischen  $\mathbf{P}_1 + \alpha_{min}(\mathbf{P}_2 - \mathbf{P}_1)$  und  $\mathbf{P}_1 + \alpha_{max}(\mathbf{P}_2 - \mathbf{P}_1)$
- ▶ Und was machen wir bei Polygonen?

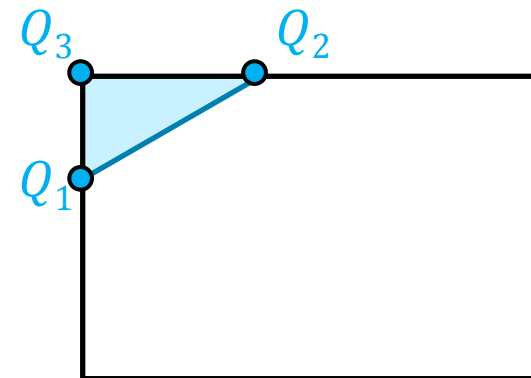
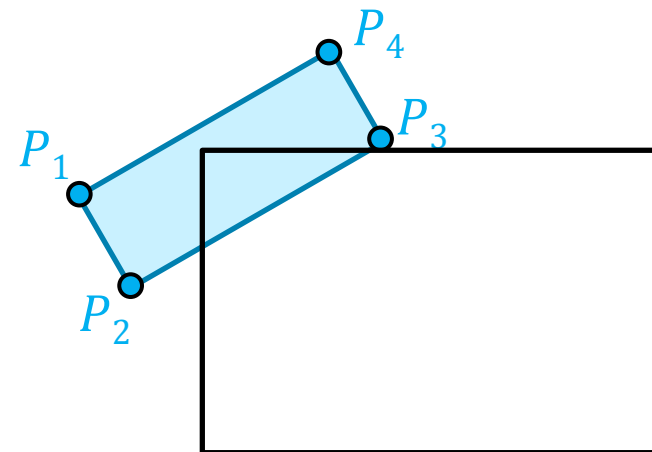
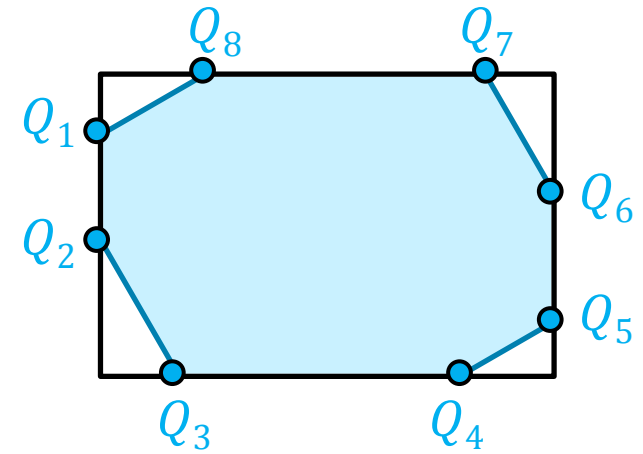
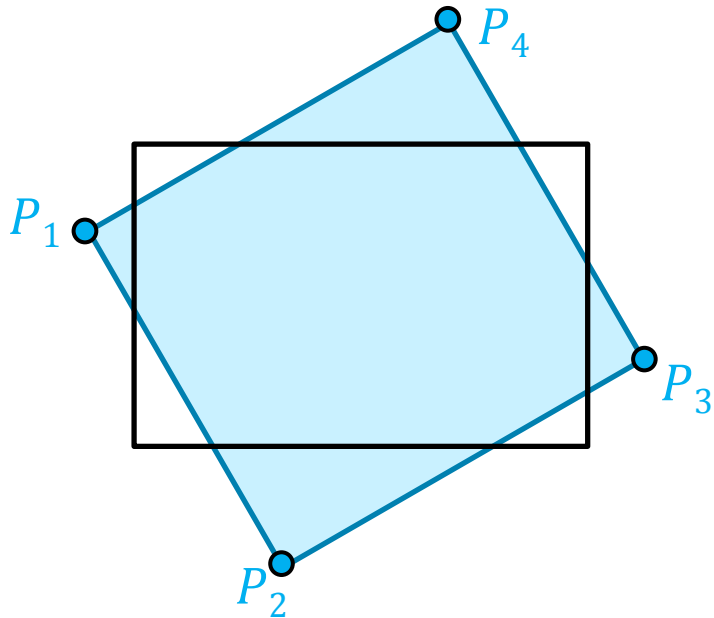
# Clipping von Polygonen

- ▶ Polygon: Geordnete Liste von Punkten



# Clipping von Polygonen

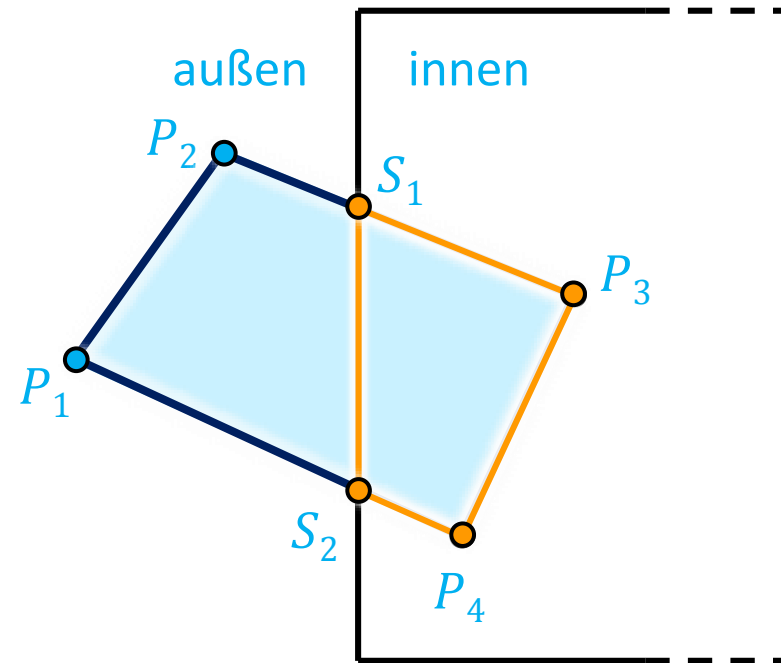
- ▶ wir brauchen mehr als nur die Liniensegmente, die durch Clipping der Polygonkanten entstehen → Algorithmus von Sutherland-Hodgeman (1974)



# Sutherland-Hodgeman Polygon Clipping

## Algorithmus für (konvexe) Viewports in 2D

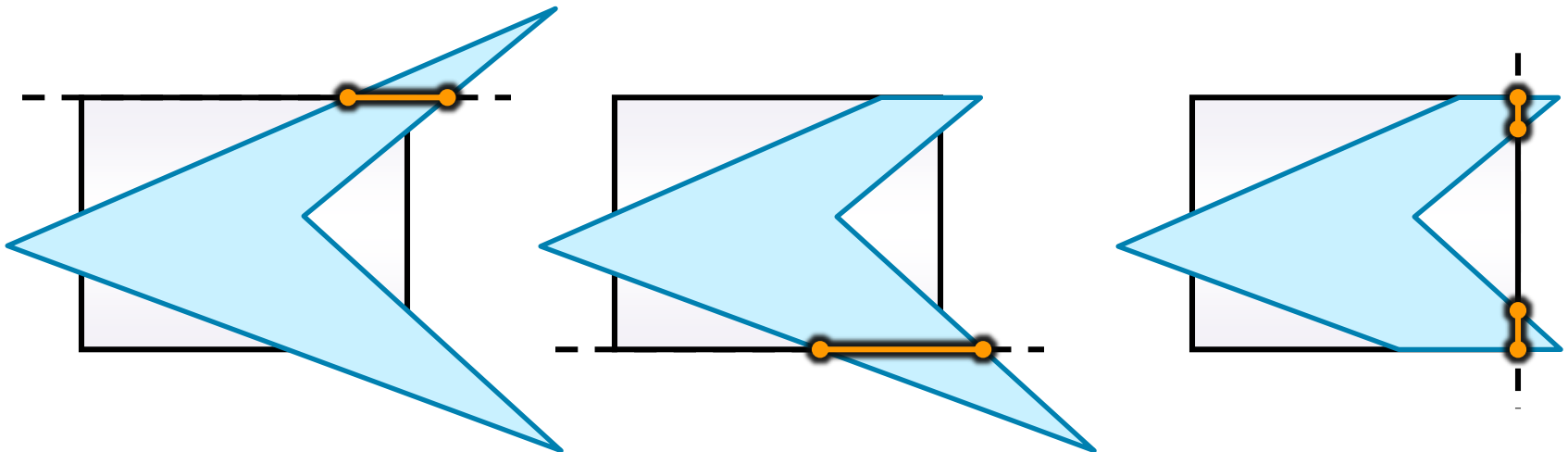
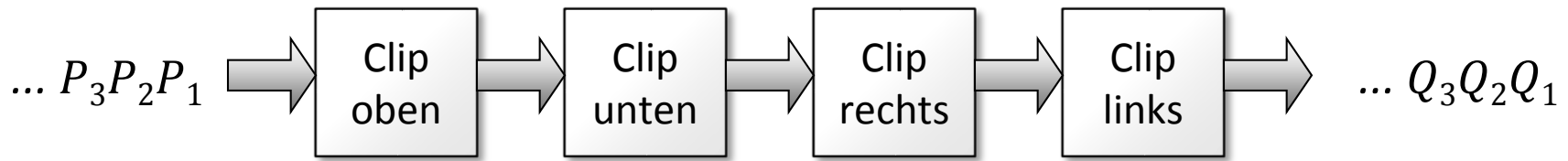
- ▶ Clipping gegen eine Kante nach der Anderen
- ▶ für jede Kante
  - ▶ Eingabe: Liste der Vertizes des Polygons
  - ▶ Ausgabe: Liste von Vertizes des resultierenden Polygons
- ▶ Beispiel:
  - ▶ Eingabe:  $P_1, P_2, P_3, P_4$
  - ▶ Ausgabe:  $S_1, P_3, P_4, S_2$



# Sutherland-Hodgeman Polygon Clipping

## Algorithmus für (konvexe) Viewports in 2D

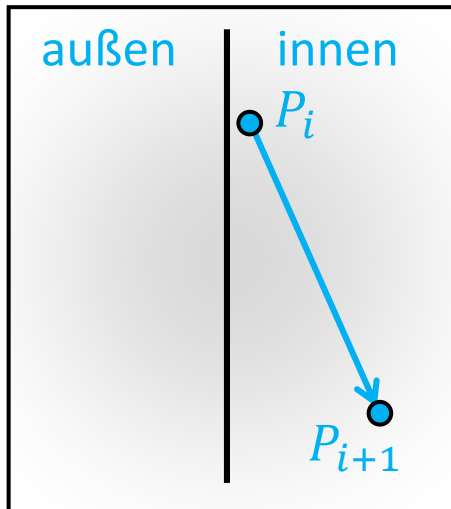
- ▶ Clipping gegen eine Kante nach der Anderen
  - ▶ nach jeder Kante erhält man ein geschlossenes Polygon
  - ▶ erlaubt Pipelining (wichtig für Hardware-Umsetzungen)



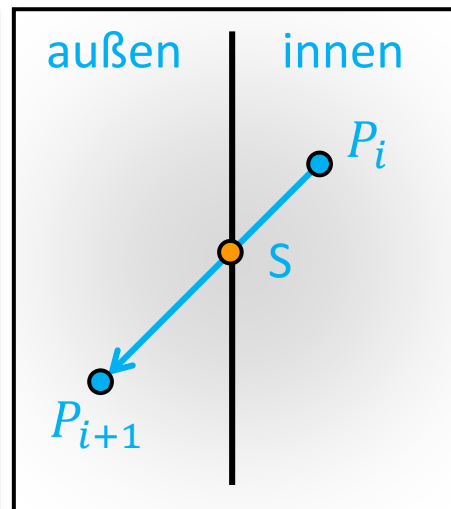
# Sutherland-Hodgeman Polygon Clipping

## Clipping gegen eine Kante

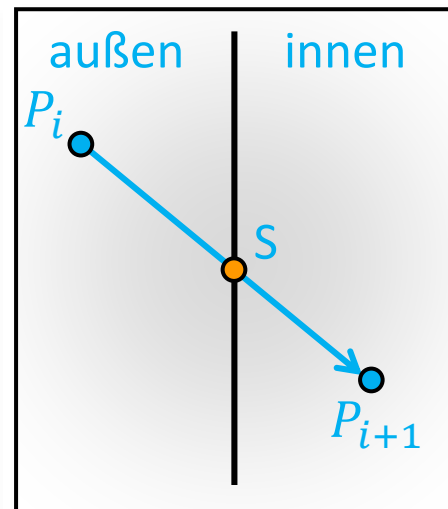
- ▶ geg. Liste von Eingabe-Vertizes  $P_1, P_2, P_3, P_4$
- ▶ betrachte eine Kante  $P_i P_{i+1}$  nach der anderen
- ▶ klassifiziere  $P_i$  bzw.  $P_{i+1}$  als innen/außen → 4 Fälle sind zu unterscheiden



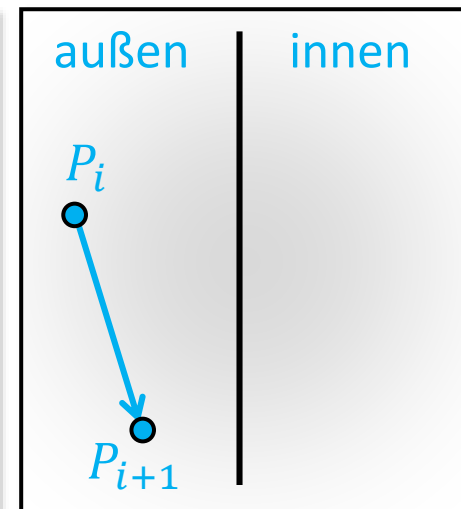
innen → innen:  
füge  $P_{i+1}$  zur  
Ausgabe hinzu



innen → außen:  
berechne  
Schnittpunkt  $S$ ,  
gebe  $S$  aus



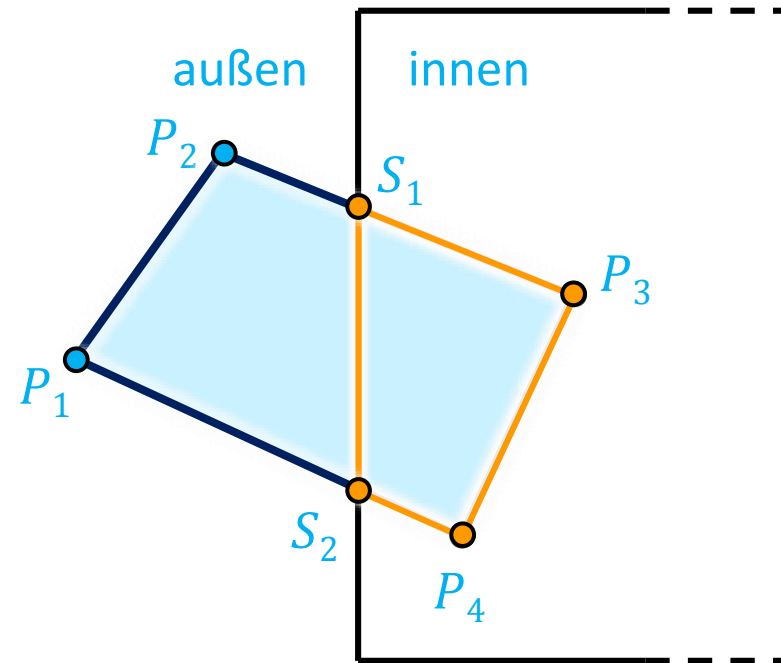
außen → innen:  
berechne  
Schnittpunkt  $S$ ,  
gebe  $S$  und  $P_{i+1}$  aus



außen → außen:  
weiter mit  
nächster Kante

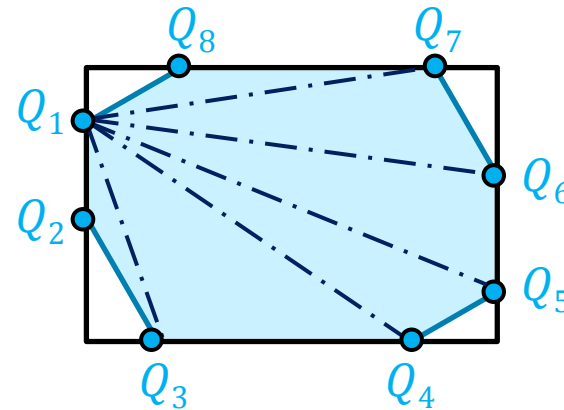
## Beispiel

- ▶ Eingabe:  $P_1, P_2, P_3, P_4$
- ▶ getestete Kanten:  $P_1P_2, P_2P_3, P_3P_4, P_4P_1$  (Schließen des Kantenzugs)
- ▶ Ausgabe:
  - ▶  $P_1P_2 \rightarrow$  nichts
  - ▶  $P_2P_3 \rightarrow S_1$  und  $P_3$
  - ▶  $P_3P_4 \rightarrow P_4$
  - ▶  $P_4P_1 \rightarrow S_2$
  - ▶ Kante  $S_2S_1$  schließt das Polygon



## Clipping mit Attributen

- ▶ Vertex-Attribute (z.B. Texturkoordinaten oder Farben) werden mit und für die Schnittpunkte berechnet
- ▶ ist das Eingabepolygon konvex, dann auch das Ausgabepolygon
  - ▶ kann bei Bedarf einfach in Dreiecke zerlegt werden:  
 $Q_1, Q_i, Q_{i+1}$  mit  $1 < i < n$

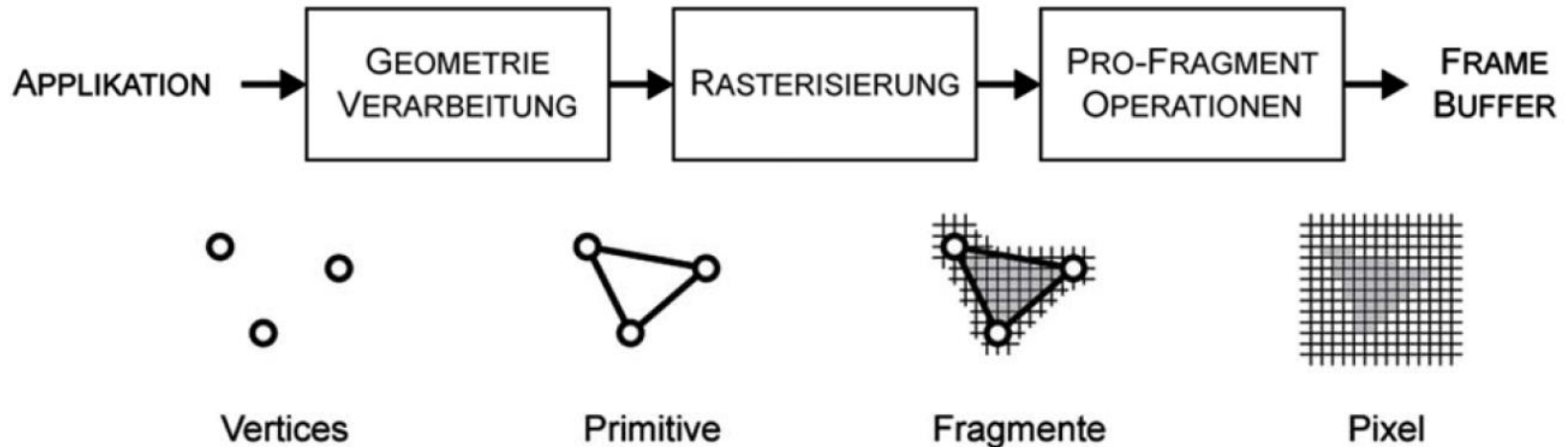


## Clipping in 3D

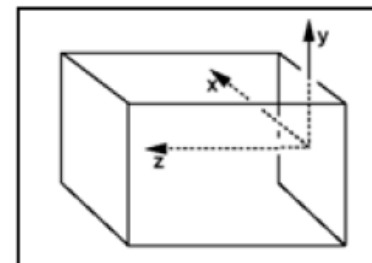
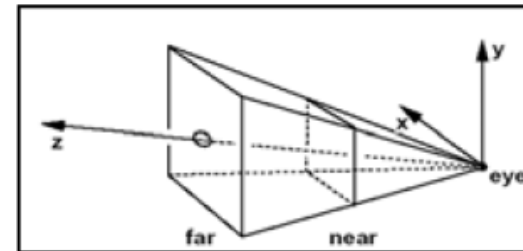
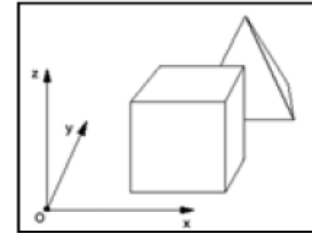
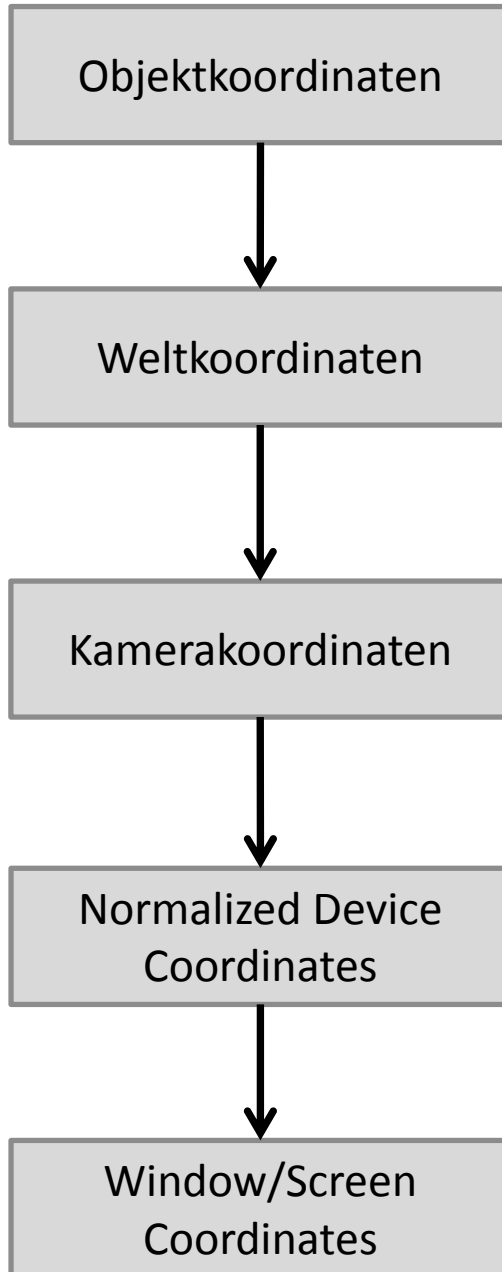
- ▶ Clipping gegen ein konvexes Sichtvolumen
  - ▶ statt Clipping gegen Kanten: Clipping gegen Ebenen
  - ▶  $\alpha$ -Clipping in homogenen Koordinaten

- ▶ Plattformunabhängige API zur Programmierung von Graphikhardware
- ▶ State Machine
- ▶ Klassisches vs. modernes OpenGL
  
- ▶ Window- und Event-Handler: GLUT, GLFW, Qt, ...
  - ▶ Fenster erzeugen, Benutzereingaben behandeln, ...
  
- ▶ Extension Manager: GLEW
  - ▶ Hilft beim Umgang mit dem OpenGL-Extension Mechanismus

- ▶ Abbilden der Geometrie (Dreiecke) auf 2D Bildschirmkoordinaten
- ▶ Rasterisierung (siehe 1. Übungsblatt)
- ▶ Interpolation von Vertex-Attributen
- ▶ Tiefentest und andere Fragmentoperationen



# Koordinatensystem Pipeline



## ▶ Schematische Hauptschleife

```
display() {  
    clearBuffers();  
    setupCamera();  
    drawScene();  
    swapBuffers();  
}  
  
drawScene() {  
    for each object {  
        stateSetup();  
        drawObject();  
        stateClean();  
    }  
}
```

## ▶ Matrix Stack

▶ z.B. für die Model-View Transformationen

```
glMatrixMode (GL_MODELVIEW) ;
```

```
glPushMatrix() ;  
glTranslatef(40, 0, 30) ;  
drawObject1() ;  
glPopMatrix() ;
```

```
glPushMatrix() ;  
glTranslatef(40, 0, -30) ;  
drawObject2() ;  
glPopMatrix() ;
```

## ▶ Geometriedaten

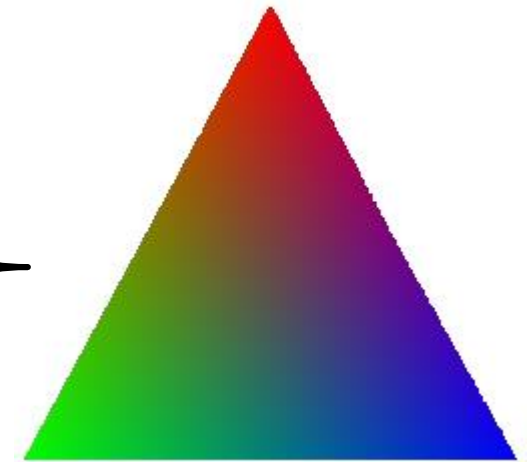
▶ Layout: GL\_TRIANGLE, GL\_TRIANGLE\_STRIP, ...

```
drawObject() {  
    glBegin(GL_TRIANGLES);  
    glVertex3f(0, 0, 0);  
    glVertex3f(1, 0, 0);  
    glVertex3f(1, 1, 0);  
    glVertex3f(0, 0, 0);  
    glVertex3f(1, 1, 0);  
    glVertex3f(0, 1, 0);  
    glEnd();  
}
```

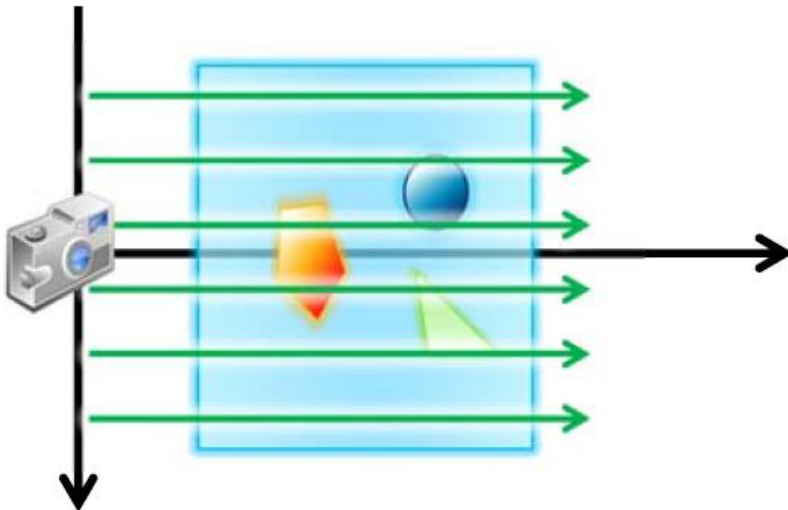
## ▶ Vertex-Attribute

- ▶ Normale, Farbe, Texturkoordinate, ...

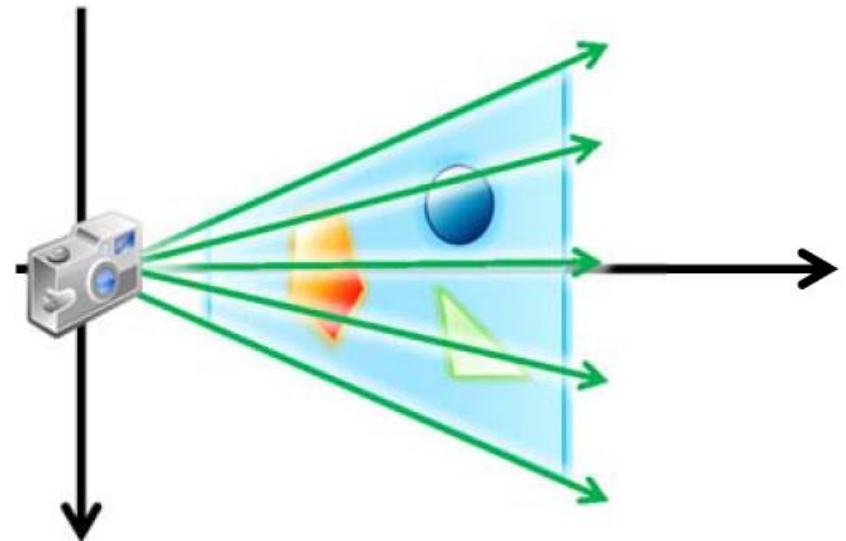
```
drawObject() {  
    glBegin(GL_TRIANGLES);  
    glColor3f (1, 0, 0);  
    glNormal3f(0, 0, 1);  
    glVertex3f(1, 2, 0);  
    glColor3f (0, 1, 0);  
    glNormal3f(0, 0, 1);  
    glVertex3f(0, 0, 0);  
    glColor3f (0, 0, 1);  
    glNormal3f(0, 0, 1);  
    glVertex3f(2, 0, 0);  
    glEnd();  
}
```



- ▶ Abbilden der Geometrie (Dreiecke) auf 2D Bildschirmkoordinaten
- ▶ Mehrere Möglichkeiten
  - ▶ Orthographisch
  - ▶ Perspektivisch

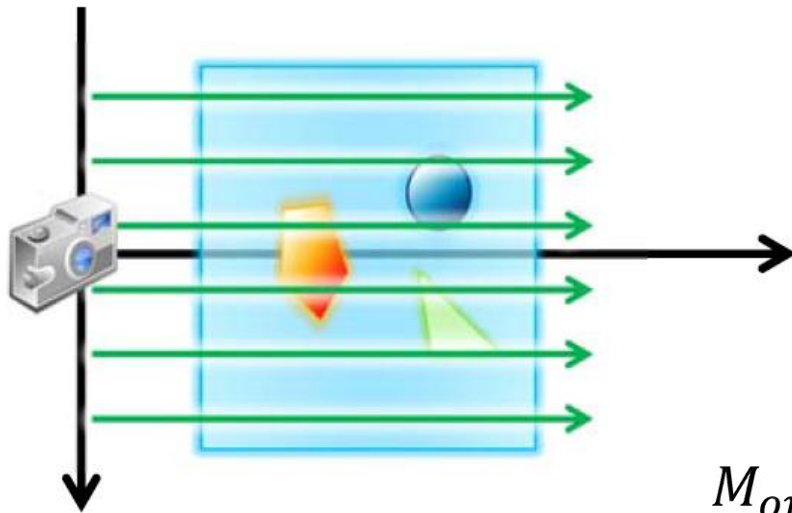


Orthographische Kamera:  
Sichtvolumen ist ein Quader



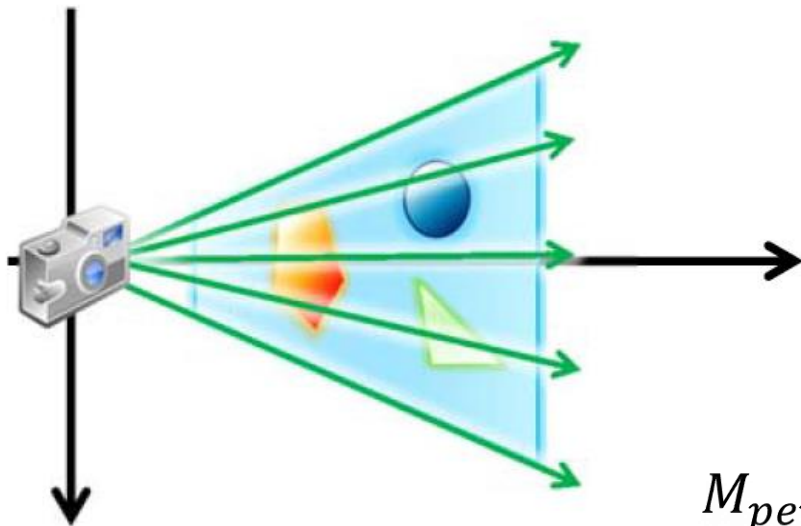
Perspektivische Kamera:  
Sichtvolumen ist ein Pyramidenstumpf

- ▶ Abbilden der Geometrie (Dreiecke) auf 2D Bildschirmkoordinaten
- ▶ **Zwischenschritt:** Abbildung des Sichtvolumens auf den Einheitswürfel
- ▶ Orthographisch: Einfach!
- ▶ Sichtvolumen:  $[r, l] \times [t, b] \times [n, f] \rightarrow [-1, 1]^3$



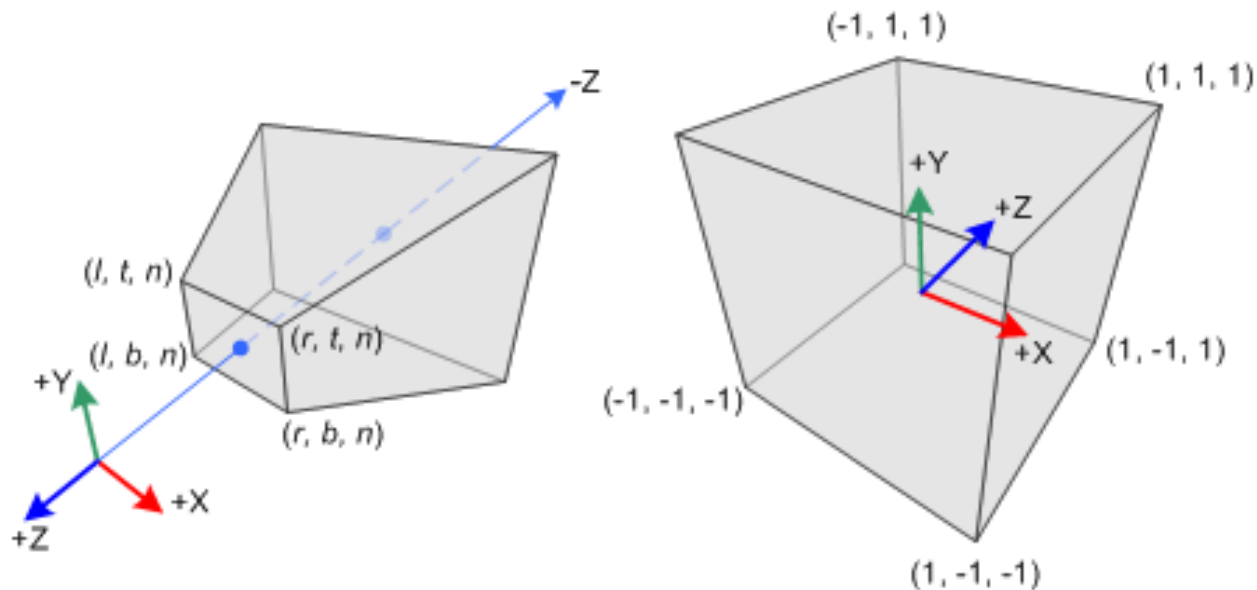
$$M_{orth} = \begin{pmatrix} \frac{2}{r-l} & 0 & 0 & -\frac{r+l}{r-l} \\ 0 & \frac{2}{t-b} & 0 & -\frac{t+b}{t-b} \\ 0 & 0 & \frac{2}{n-f} & -\frac{n+f}{n-f} \\ 0 & 0 & 0 & 1 \end{pmatrix}$$

- ▶ Abbilden der Geometrie (Dreiecke) auf 2D Bildschirmkoordinaten
- ▶ **Zwischenschritt:** Abbildung des Sichtvolumens auf den Einheitswürfel
- ▶ Perspektivisch: Projektionszentrum im Ursprung
- ▶ Sichtvolumen definiert durch:  $r, l, b, t, n, f$



$$M_{pers} = \begin{pmatrix} \frac{2n}{r-l} & 0 & \frac{r+l}{r-l} & 0 \\ 0 & \frac{2n}{t-b} & \frac{t+b}{t-b} & 0 \\ 0 & 0 & \frac{n+f}{n-f} & -\frac{2nf}{f-n} \\ 0 & 0 & -1 & 0 \end{pmatrix}$$

- ▶ Multiplikation mit  $M_{pers}/M_{orth}$  und anschließender Dehomogenisierung beschreibt die Abbildung „Sichtvolumen  $\rightarrow$  Kanonisches Volumen“
- ▶ Die eigentliche Projektion ist dann das Weglassen der z-Komponente
- ▶ Letzter Schritt: Viewport Transformation
  - ▶  $[-1,1]^2 \rightarrow [0, screenWidth] \times [0, screenHeight]$

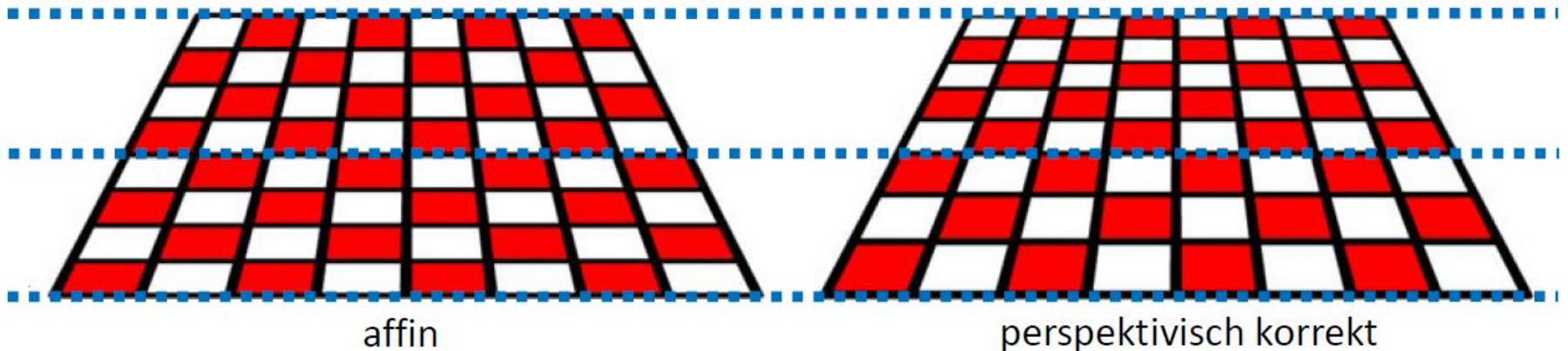


- ▶ Naive (affine) Interpolation im Bildraum führt zu falschen Ergebnissen bei perspektivischen Projektionen
- ▶ Richtige Tiefeninterpolation:

$$\frac{1}{z_t} = \left( s \frac{1}{z_1} + (1 - s) \frac{1}{z_2} \right)$$

- ▶ Allgemein:

$$\frac{I_t}{z_t} = \left( s \frac{I_1}{z_1} + (1 - s) \frac{I_2}{z_2} \right)$$



- ▶ Entscheide Sichtbarkeit durch Speichern der Distanz des nächsten Objekts pro Pixel

